

STANISŁAW MAJEWSKI

OBLICZANIE SPRĘŻONEJ BELKI
SPOCZYWAJĄCEJ NA SPRĘŻYSTEJ PÓLPRZESTRZENI

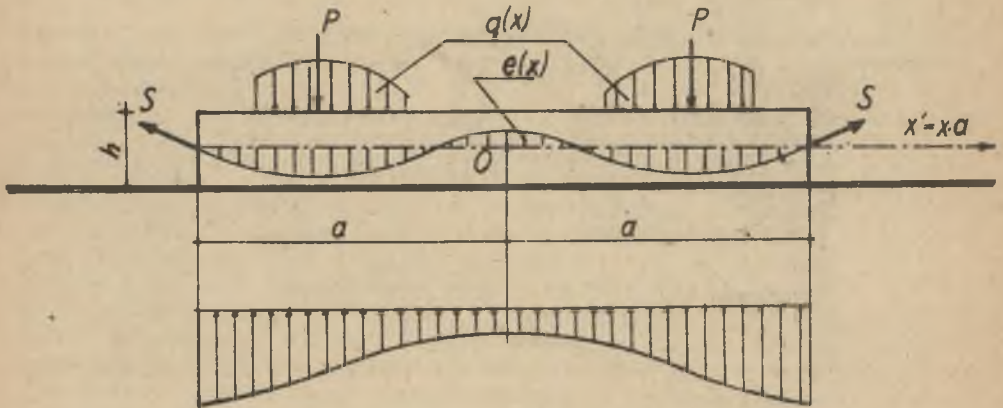
Streszczenie. Praca zawiera poszukiwania praktycznej metody projektowania belek sprężonych spoczywających na sprężystej półprzestrzeni. Odpór podłoża pod symetrycznie obciążoną belką potraktowano jako funkcję obciążenia zewnętrznego, położenia punktu na osi podłużnej belki i parametrów sprężenia (wartości siły i jej mimośrod). Podano wzory do obliczania wartości tego odporu i wiążącej się z nim wartości momentu zginającego. Opierając się o te wzory i wykorzystując pewne ogólnie znane zasady rachunku krakowianowego opracowano tablice, które dają możliwość obliczania w prosty sposób odporu gruntu i momentu zginającego w obciążonej dowolnie (z zachowaniem symetrii) sprężonej belce spoczywającej na podłożu sprężystym. Tablice te mogą z powodzeniem służyć do obliczania również belek niesprężonych, stanowią więc niejako uogólnienie tablic opracowanych przez Gorbunowa-Posadowa.

Przedstawiony na końcu pracy przykład ilustruje sposób wykorzystania tych tablic.

1. Rozważania ogólne

Rozpatruje się belkę spoczywającą na sprężystej półprzestrzeni obciążoną prostopadłe do jej osi i sprężoną cięgnem przebiegającym na mimośrodku "e" zmiennym wzdłuż długości belki. W pierwszym etapie (przedstawionym w niniejszej publikacji) ograniczono się do przypadku symetrycznego względem środka belki obciążenia, co pociąga za sobą narzucenie warunku symetrii trasy cięgna sprężającego względem tego środka (rys. 1). Rozwiązanie dla obciążenia antymetrycznego może być uzyskane w analogiczny sposób. Nie wprowadza się natomiast żadnych ograniczeń co do sposobu realizacji obciążenia: może nim być dowolnie zlokalizowana siła skupiona, moment, względnie obciążenie rozłożone na całej belce czy też tylko na pewnych jej partiach.

Podobnie jak dla pasma, pierwszym krokiem stanowiącym zarazem klucz do rozwiązania wszystkich zagadnień związanych z rozpatrywaną belką jest wyznaczenie przebiegu odporu podłoża pod belką. Jako podstawę przyjęto tutaj tok postępowania przedstawiony przez Gorbunowa-Posadowa w jego pracach na temat obliczania belek na sprężystym podłożu.



Rys. 1

Wychodzi się z rozwiązania prostokątnej płyty o wymiarach $2a \times 2b$ przyjmując nieznaną odpór podłoża w postaci podwójnego szeregu potęgowego

$$p(x, y) = \sum_{n=0}^{\infty} \sum_{m=0}^{\infty} a_{n,m} \cdot x^n \cdot y^m \quad (1)$$

W przypadku obciążenia symetrycznego względem osi x i y szereg ten można zastąpić szeregiem

$$p(x, y) = \sum_{n=0}^{\infty} \sum_{m=0}^{\infty} a_{2n,2m} \cdot x^{2n} \cdot y^{2m} \quad (2)$$

Nieznane współczynniki $a_{n,m}$ przy odpowiednich potęgach x i y w szeregu (1) wyznacza się w oparciu o dwa warunki statyczne:

- 1) suma rzutów wszystkich sił na oś pionową prostopadłą do górnej powierzchni podłoża równa się zero,
- 2) sumy momentów względem dwóch wzajemnie prostopadłych osi układu x i y leżących w płaszczyźnie równoległej do górnej powierzchni podłoża równają się zero

oraz o warunek geometryczny dotyczący równości ugięć płyty i odkształceń podłoża. Wykorzystanie wspomnianych warunków prowadzi (podobnie jak to miało miejsce w przypadku pasma) do nieskończonej ilości równań liniowych zawierających nieskończoną ilość nieznanymi współczynników $a_{n,m}$. Zastępując szereg nieskończony wielomianem potęgowym k -tego stopnia, uzyskuje się podstawę do wyznaczenia współczynników $a_{n,m}$, a tym samym do określenia równania odporu podłoża.

Oznaczając przez $\bar{\alpha}$ stosunek połowy długości płyty "a" do połowy jej szerokości "b" i pomijając w uzyskanym rozwiązaniu te wyrazy, które przy $\bar{\alpha} > 7$ przyjmują małe wartości, uzyskuje się układ równań liniowych pozwalający na wyznaczenie odporu podłoża pod spoczywającą na nim belką. Zastępując z kolei szereg nieskończony wielomianem potęgowym dziesiątego stopnia

$$p(x) = \sum_{n=0}^5 a_{2n} \cdot x^{2n} \quad (3)$$

układ ten sprowadzi się do sześciu równań o sześciu niewiadomych ($a_0, a_2, a_4, a_6, a_8, a_{10}$):

$$1.000000a_0 + 0,333333a_2 + 0,200000a_4 + 0,142857a_6 + \\ + 0,111111a_8 + 0,090909a_{10} = S_0$$

$$K_0 \cdot a_0 + (C_2 + K_2)a_2 + K_4 \cdot a_4 + K_6 \cdot a_6 + K_8 \cdot a_8 + \\ + K_{10} \cdot a_{10} = R_2 - S_2$$

$$L_0 \cdot a_0 - 0,500000a_2 + C_4 \cdot a_4 + 0,500000a_6 + \\ + 0,250000a_8 + 0,166667a_{10} = R_4 \quad (4)$$

$$-0.166667a_0 + L_2 a_2 - 0,500000a_4 + C_6 a_6 + \\ + 0.500000a_8 + 0.250000a_{10} = R_6$$

$$-0,125000a_0 - 0,166667a_2 + L_4a_4 - 0,500000a_6 + \\ + C_8a_8 + 0,500000a_{10} = R_8$$

$$-0,100000a_0 - 0,125000a_2 - 0,166667a_4 + L_6a_6 + \\ - 0,500000a_8 + C_{10}a_{10} = R_{10} \quad (4)$$

W równaniach tych wielkości K_{2i} i L_{2i} zależą od wskaźnika

$$t' = \frac{\pi E_0 a^4}{2(1-\nu_0^2)E_1 I_1} = \bar{\alpha} \cdot t \quad (5)$$

przy czym t jest wskaźnikiem wiotkości belki. Wielkości C_{2i} są zależne od stosunku $\bar{\alpha} = a:b$

Wyrazy wolne w równaniach od drugiego do szóstego są proporcjonalne do współczynników przy kolejnych parzystych potęgach (od drugiej do dziesiątej) w równaniu osi odkształconej, będące wielomianem zawierającym, również x jedynie w parzystych potęgach.

$$EIy'' = -M(x)$$

Ponieważ obciążenie belki i inne wpływy (sprężenie, temperatura) najwygodniej jest przedstawić w postaci szeregu potęgowego, więc $M(x)$ będzie wielomianem, w którym ze względu na założoną symetrię wystąpią właśnie tylko parzyste potęgi " x ". Dwukrotnie scałkowanie funkcji $M(x)$ da w efekcie równanie osi odkształconej, będące wielomianem zawierającym, również x jedynie w parzystych potęgach.

Układ (4) może stanowić podstawę do wyznaczenia odporu podłoża pod belką sprężoną, przy czym wpływ sprężenia znajdzie swe odbicie w wartościach wyrazów wolnych w równaniach od drugiego do szóstego. Trudno jednak nie zauważyć ogromnych niedogodności jakie wiążą się z rozwiązywaniem belek sprężonych w oparciu o układ (4).

Podstawą niedogodność stanowi tutaj niemożność projektowania czyli doboru parametrów sprężenia chociażby dla belki o określonych wymiarach, nie mówiąc już o doborze przekroju poprzecznego belki najbardziej odpowiedniego w zadanych warunkach obciążenia i doborze odpowiednich dla tego optymalnego przekroju parametrów sprężenia. Niemożność ta wynika z faktu, że każdorazowo rozwiązanie układu równań (4) jest związane z jednym zestawem wymiarów geometrycznych belki, z

jednym określonym rodzajem obciążenia i z jednym uprzednio sprecyzowanym zestawem parametrów sprężenia (wartość siły sprężającej i przebieg mimośrodowo na długości belki). Wszystkie te czynniki muszą być określone przed przystąpieniem do rozwiązywania układu równań, a ewentualne projektowanie mogłoby się odbywać na drodze kilkakrotnych prób, z których każda wiązałaby się z bądź co bądź pracochłonną operacją rozwiązania układu sześciu równań o sześciu niewiadomych.

Dla celów praktycznych najdogodniejsza byłaby metoda opierająca się na tablicach lub na wykresach, pozwalająca na obliczanie belki przy dowolnym obciążeniu i dowolnym przebiegu trasy ciężna (z zachowaniem uprzednio zastrzeżonej symetrii względem środka belki).

W poszukiwaniu takiej metody można skorzystać z prostych i ogólnie znanych zasad rachunku krakowianowego w zastosowaniu do rozwiązywania układów równań liniowych. Jak wiadomo rozwiązanie takie można otrzymać mnożąc inwers macierzy podstawowej układu przez kolumnę wyrazów wolnych.

W zapisie krakowianowym rozwiązanie układu [4] wyrazi się następująco:

$$\begin{pmatrix} a_0 \\ a_2 \\ a_4 \\ a_6 \\ a_8 \\ a_{10} \end{pmatrix} = \begin{pmatrix} W_0 \\ W_2 \\ W_4 \\ W_6 \\ W_8 \\ W_{10} \end{pmatrix} \cdot \begin{pmatrix} \alpha_{00} & \alpha_{20} & \alpha_{40} & \alpha_{60} & \alpha_{80} & \alpha_{100} \\ \alpha_{02} & \alpha_{22} & \alpha_{42} & \alpha_{62} & \alpha_{82} & \alpha_{102} \\ \alpha_{04} & \alpha_{24} & \alpha_{44} & \alpha_{64} & \alpha_{84} & \alpha_{104} \\ \alpha_{06} & \alpha_{26} & \alpha_{46} & \alpha_{66} & \alpha_{86} & \alpha_{106} \\ \alpha_{08} & \alpha_{28} & \alpha_{48} & \alpha_{68} & \alpha_{88} & \alpha_{108} \\ \alpha_{010} & \alpha_{210} & \alpha_{410} & \alpha_{610} & \alpha_{810} & \alpha_{1010} \end{pmatrix} \quad (6a)$$

co po wykonaniu działania daje

$$\left. \begin{aligned} a_0 &= \alpha_{00}W_0 + \alpha_{02}W_2 + \alpha_{04}W_4 + \alpha_{06}W_6 + \alpha_{08}W_8 + \alpha_{010}W_{10} \\ a_2 &= \alpha_{20}W_0 + \alpha_{22}W_2 + \alpha_{24}W_4 + \alpha_{26}W_6 + \alpha_{28}W_8 + \alpha_{210}W_{10} \\ a_4 &= \alpha_{40}W_0 + \alpha_{42}W_2 + \alpha_{44}W_4 + \alpha_{46}W_6 + \alpha_{48}W_8 + \alpha_{410}W_{10} \\ a_6 &= \alpha_{60}W_0 + \alpha_{62}W_2 + \alpha_{64}W_4 + \alpha_{66}W_6 + \alpha_{68}W_8 + \alpha_{610}W_{10} \\ a_8 &= \alpha_{80}W_0 + \alpha_{82}W_2 + \alpha_{84}W_4 + \alpha_{86}W_6 + \alpha_{88}W_8 + \alpha_{810}W_{10} \\ a_{10} &= \alpha_{100}W_0 + \alpha_{102}W_2 + \alpha_{104}W_4 + \alpha_{106}W_6 + \alpha_{108}W_8 + \alpha_{1010}W_{10} \end{aligned} \right\} \quad (6b)$$

lub ogólnie

$$a_{2n} = \sum_{k=0}^5 \alpha_{2n,2k} \cdot W_{2k} \quad (6c)$$

W równaniach (6a) do (6c) wielkościom W_{2k} odpowiadają wyrazy wolne w poszczególnych równaniach układu (4).

Współczynniki $\alpha_{2n,2k}$ łatwo uzyskać na drodze obliczenia inwersu krakowianowej macierzy podstawowej układu (4). Obliczenie to wymaga uprzedniego sprecyzowania wartości $\bar{\alpha} = \frac{0-a}{b}$ oraz t' (wzór 5). Obydwie te wartości są zależne jedynie od parametrów geometrycznych belki oraz od pewnych własności fizykalnych podłoża i materiału belki. Tak więc dla określonej belki cała tablica współczynników $\alpha_{2n,2k}$ może być z łatwością obliczona bez konieczności precyzowania obciążenia oraz parametrów sprężenia.

Znajomość współczynników $\alpha_{2n,2k}$ pozwala na rozpisanie równania odporu podłoża (3) a w dalszej kolejności na obliczenie momentów zginających, sił poprzecznych i ugięć belki.

2. Odpór podłoża

$$p(x) = a_0 + a_2 \cdot x^2 + a_4 \cdot x^4 + a_6 \cdot x^6 + a_8 \cdot x^8 + a_{10} \cdot x^{10}$$

Wprowadzając współczynniki a_{2n} według (6b) i grupując wyrazy przy jednakowych W_{2k} uzyskamy:

$$\begin{aligned} p(x) = & \\ = & (\alpha_{00} + \alpha_{20} \cdot x^2 + \alpha_{40} \cdot x^4 + \alpha_{60} \cdot x^6 + \alpha_{80} \cdot x^8 + \alpha_{100} \cdot x^{10}) W_0 + \\ & + (\alpha_{02} + \alpha_{22} \cdot x^2 + \alpha_{42} \cdot x^4 + \alpha_{62} \cdot x^6 + \alpha_{82} \cdot x^8 + \alpha_{102} \cdot x^{10}) W_2 + \\ & + (\alpha_{04} + \alpha_{24} \cdot x^2 + \alpha_{44} \cdot x^4 + \alpha_{64} \cdot x^6 + \alpha_{84} \cdot x^8 + \alpha_{104} \cdot x^{10}) W_4 + \\ & + (\alpha_{06} + \alpha_{26} \cdot x^2 + \alpha_{46} \cdot x^4 + \alpha_{66} \cdot x^6 + \alpha_{86} \cdot x^8 + \alpha_{106} \cdot x^{10}) W_6 + \\ & + (\alpha_{08} + \alpha_{28} \cdot x^2 + \alpha_{48} \cdot x^4 + \alpha_{68} \cdot x^6 + \alpha_{88} \cdot x^8 + \alpha_{108} \cdot x^{10}) W_8 + \\ & + (\alpha_{010} + \alpha_{210} \cdot x^2 + \alpha_{410} \cdot x^4 + \alpha_{610} \cdot x^6 + \alpha_{810} \cdot x^8 + \alpha_{1010} \cdot x^{10}) W_{10} \end{aligned} \quad (7a)$$

Wyrażenia w nawiasach nie zależą od obciążenia i od sprężenia i jako takie mogą zostać stabelaryzowane. W ten sposób odpór podłoża wyrazi się jako:

$$p(x) = \sum_{k=0}^5 p_{2k} \cdot W_{2k} \quad (7b)$$

Tablice od 1 do 6 podają liczbowe wartości współczynników p_{2k} dla stosunku połowy długości belki do połowy jej szerokości $\bar{\alpha} = \frac{a}{b} = 10$ i różnych wartości t' (od $t' = 0$ do $t' = 500$).

Tablica 1

Wartości współczynnika p_0

| t' x | 0,0 | 0,2 | 0,4 | 0,6 | 0,8 | 1,0 |
|-----------|-----------|-----------|-----------|-----------|-----------|-----------|
| 0 | +0,882379 | +0,888295 | +0,908623 | +0,956038 | +1,088520 | +1,583634 |
| 2 | +0,815653 | +0,828937 | +0,871344 | +0,956104 | +1,146890 | +1,754546 |
| 5 | +0,724022 | +0,747311 | +0,819800 | +0,955782 | +1,227183 | +1,991181 |
| 10 | +0,590476 | +0,628063 | +0,743816 | +0,954303 | +1,344544 | +2,340821 |
| 20 | +0,378384 | +0,437774 | +0,620365 | +0,948685 | +1,532003 | +2,911510 |
| 50 | -0,003910 | +0,089761 | +0,382386 | +0,920184 | +1,875703 | +4,027011 |
| 100 | -0,283136 | -0,175152 | +0,175191 | +0,858920 | +2,138496 | +5,033727 |
| 200 | -0,451152 | -0,357139 | -0,021119 | +0,732049 | +2,211249 | +6,070426 |
| 500 | -0,428443 | -0,406780 | -0,239519 | +0,418891 | +2,345509 | +7,542490 |

Tablica 2

Wartości współczynnika P_2

| t'_x | 0,0 | 0,2 | 0,4 | 0,6 | 0,8 | 1,0 |
|--------|-----------|-----------|-----------|-----------|-----------|-----------|
| 2 | -0,157139 | -0,142152 | -0,095648 | -0,010933 | +0,137748 | +0,461913 |
| 5 | -0,148739 | -0,134785 | -0,091276 | -0,011322 | +0,130521 | +0,442205 |
| 10 | -0,136425 | -0,123980 | -0,084857 | -0,011884 | +0,119919 | +0,413271 |
| 20 | -0,116636 | -0,106606 | -0,074516 | -0,012759 | +0,102862 | +0,366643 |
| 50 | -0,079666 | -0,074086 | -0,055014 | -0,014232 | +0,070888 | +0,278832 |
| 100 | -0,049833 | -0,047716 | -0,038920 | -0,015075 | +0,044864 | +0,206472 |
| 200 | -0,025720 | -0,026140 | -0,025190 | -0,015060 | +0,023380 | +0,144940 |
| 500 | -0,007198 | -0,008902 | -0,012694 | -0,013084 | +0,005714 | +0,089230 |

Tablica 3

Wartości współczynnika P_4

| t'_x | 0,0 | 0,2 | 0,4 | 0,6 | 0,8 | 1,0 |
|--------|-----------|-----------|-----------|-----------|-----------|-----------|
| 2 | -0,078310 | -0,084425 | -0,092650 | -0,068635 | +0,070755 | +0,567800 |
| 5 | -0,071660 | -0,078536 | -0,089036 | -0,068800 | +0,064936 | +0,551560 |
| 10 | -0,061936 | -0,069916 | -0,083717 | -0,069002 | +0,056409 | +0,527664 |
| 20 | -0,046400 | -0,056100 | -0,075100 | -0,069215 | +0,042710 | +0,488985 |
| 50 | -0,017888 | -0,030502 | -0,058618 | -0,068958 | +0,017154 | +0,415184 |
| 100 | +0,004075 | -0,010297 | -0,044507 | -0,071700 | -0,003391 | +0,352345 |
| 200 | +0,019695 | +0,005120 | -0,031490 | -0,063290 | -0,019815 | +0,294865 |
| 500 | +0,025852 | +0,014342 | -0,017182 | -0,052284 | -0,031698 | +0,231892 |

Tablica 4

Wartości współczynnika p_6

| t' x | 0,0 | 0,2 | 0,4 | 0,6 | 0,8 | 1,0 |
|-----------|-----------|-----------|-----------|-----------|-----------|-----------|
| 2 | -0,049700 | -0,052255 | -0,062305 | -0,070525 | +0,012645 | +0,573245 |
| 5 | -0,044788 | -0,047894 | -0,059592 | -0,070588 | +0,008322 | +0,561016 |
| 10 | -0,037622 | -0,041517 | -0,055530 | -0,070640 | +0,002020 | +0,543057 |
| 20 | -0,026200 | -0,031155 | -0,049110 | -0,070605 | -0,000815 | +0,540000 |
| 50 | -0,005406 | -0,012516 | -0,036640 | -0,069846 | -0,026972 | +0,457604 |
| 100 | +0,010240 | +0,002110 | -0,025840 | -0,067770 | -0,041950 | +0,388460 |
| 200 | +0,020635 | +0,012455 | -0,017110 | -0,066365 | -0,059310 | +0,312600 |
| 500 | +0,022522 | +0,017886 | -0,004124 | -0,051234 | -0,060854 | +0,308326 |

Tablica 5

Wartości współczynnika p_8

| t' x | 0,0 | 0,2 | 0,4 | 0,6 | 0,8 | 1,0 |
|-----------|-----------|-----------|-----------|-----------|-----------|-----------|
| 2 | -0,032035 | -0,033465 | -0,039400 | -0,052735 | -0,018105 | +0,511845 |
| 5 | -0,028602 | -0,030410 | -0,037486 | -0,052754 | -0,021126 | +0,503214 |
| 10 | -0,023595 | -0,025948 | -0,034668 | -0,052754 | -0,025554 | +0,490498 |
| 20 | -0,015630 | -0,018815 | -0,030090 | -0,052655 | -0,032650 | +0,469845 |
| 50 | -0,001184 | -0,005712 | -0,021270 | -0,051908 | -0,045812 | +0,430030 |
| 100 | +0,009556 | +0,004401 | -0,013596 | -0,050115 | -0,056206 | +0,395290 |
| 200 | +0,016410 | +0,011635 | -0,006305 | -0,046250 | -0,064120 | +0,361870 |
| 500 | +0,016770 | +0,014524 | +0,002050 | -0,036440 | -0,068522 | +0,321014 |

Tablica 6

Wartości współczynnika p_{10}

| $t^{(1)}$ x | 0,0 | 0,2 | 0,4 | 0,6 | 0,8 | 1,0 |
|----------------|-----------|-----------|-----------|-----------|-----------|-----------|
| 2 | -0,018695 | -0,019475 | -0,022585 | -0,031790 | -0,024960 | +0,384770 |
| 5 | -0,016586 | -0,017600 | -0,021398 | -0,031782 | -0,026810 | +0,379378 |
| 10 | -0,013513 | -0,014856 | -0,019383 | -0,031760 | -0,029520 | +0,371424 |
| 20 | -0,008630 | -0,010475 | -0,016825 | -0,031655 | -0,033850 | +0,358465 |
| 50 | +0,000194 | -0,002452 | -0,011364 | -0,031076 | -0,041834 | +0,333262 |
| 100 | +0,006678 | +0,003688 | -0,006609 | -0,029783 | -0,048021 | +0,310803 |
| 200 | +0,010665 | +0,007970 | -0,002090 | -0,027070 | -0,052460 | +0,288245 |
| 500 | +0,010388 | +0,009354 | +0,003020 | -0,020316 | -0,053938 | +0,257826 |

3. Siły poprzeczne

$$Q(x) = a \int_0^x p(x) \cdot dx = a \int_0^x \sum_{n=0}^5 a_{2n} \cdot x^{2n} = a \sum_{n=0}^5 \frac{a_{2n}}{(2n+1)} x^{2n+1} + Q_0$$

Q_0 stanowi wartość siły poprzecznej w punkcie $x = 0$.

Z warunku symetrii odporu podłoża wynika, że $Q_0 = 0$. Ostatecznie więc

$$Q(x) = \left[a_0 \cdot x + \frac{a_2}{3} x^3 + \frac{a_4}{5} x^5 + \frac{a_6}{7} x^7 + \frac{a_8}{9} x^9 + \frac{a_{10}}{11} x^{11} \right] a \quad (8a)$$

Wprowadzając współczynniki a_{2n} według (6b) i grupując wyrazy przy jednakowych W_{2k} uzyskuje się:

$$\frac{1}{a} \cdot Q(x) = \left[\frac{\alpha_{00} \cdot x}{1} + \frac{\alpha_{20} \cdot x^3}{3} + \frac{\alpha_{40} \cdot x^5}{5} + \frac{\alpha_{60} \cdot x^7}{7} + \frac{\alpha_{80} \cdot x^9}{9} + \frac{\alpha_{100} \cdot x^{11}}{11} \right] \cdot W_0 + \left[\frac{\alpha_{02} \cdot x}{1} + \frac{\alpha_{22} \cdot x^3}{3} + \frac{\alpha_{42} \cdot x^5}{5} + \frac{\alpha_{62} \cdot x^7}{7} + \frac{\alpha_{82} \cdot x^9}{9} + \frac{\alpha_{102} \cdot x^{11}}{11} \right] \cdot W_2 + \quad (8b)$$

$$\begin{aligned}
 & + \left[\frac{\alpha_{04} \cdot x}{1} + \frac{\alpha_{24} \cdot x^3}{3} + \frac{\alpha_{44} \cdot x^5}{5} + \frac{\alpha_{64} \cdot x^7}{7} + \frac{\alpha_{84} \cdot x^9}{9} + \frac{\alpha_{104} \cdot x^{11}}{11} \right] \cdot W_4 + \\
 & + \left[\frac{\alpha_{06} \cdot x}{1} + \frac{\alpha_{26} \cdot x^3}{3} + \frac{\alpha_{46} \cdot x^5}{5} + \frac{\alpha_{66} \cdot x^7}{7} + \frac{\alpha_{86} \cdot x^9}{9} + \frac{\alpha_{106} \cdot x^{11}}{11} \right] \cdot W_6 + \\
 & + \left[\frac{\alpha_{08} \cdot x}{1} + \frac{\alpha_{28} \cdot x^3}{3} + \frac{\alpha_{48} \cdot x^5}{5} + \frac{\alpha_{68} \cdot x^7}{7} + \frac{\alpha_{88} \cdot x^9}{9} + \frac{\alpha_{108} \cdot x^{11}}{11} \right] \cdot W_8 + \\
 & + \left[\frac{\alpha_{010} \cdot x}{1} + \frac{\alpha_{210} \cdot x^3}{3} + \frac{\alpha_{410} \cdot x^5}{5} + \frac{\alpha_{610} \cdot x^7}{7} + \frac{\alpha_{810} \cdot x^9}{9} + \right. \\
 & \quad \left. + \frac{\alpha_{1010} \cdot x^{11}}{11} \right] \cdot W_{10} \quad (8b)
 \end{aligned}$$

Podobnie jak poprzednio, współczynniki w nawiasach nie zależą od obciążenia i od sprężenia i mogą zostać łatwo stabilaryzowane. Ostatecznie można więc wyrazić siłę poprzeczną pochodzącą od odporu podłoża wzorem:

$$Q(x) = a \sum_{k=0}^5 q_{2k} \cdot W_{2k} \quad (8c)$$

Nie chcąc nadmiernie powiększać objętości pracy, tablic zawierających współczynniki q_{2k} nie zamieszcza się. Znając obciążenie i odpór podłoża obliczymy siły poprzeczne.

4. Momenty zginające

$$\begin{aligned}
 M(x) &= a^2 \iint p(x) dx = a^2 \iint \sum_{n=0}^5 a_{2n} \cdot x^{2n} = \\
 &= a^2 \sum_{n=0}^5 \frac{a_{2n}}{(2n+1) \cdot (2n+2)} \cdot x^{2n+2} + M_0
 \end{aligned}$$

M_0 stanowi tutaj wartość momentu zginającego od odporu podłoża w środku belki ($x = 0$). Wykorzystując warunek brzegowy (moment zginający na końcach belki równa się zero) uzyskuje się na M_0 wyrażenie:

$$M_0 = -a^2 \left(\frac{a_0}{2} + \frac{a_2}{12} + \frac{a_4}{80} + \frac{a_6}{56} + \frac{a_8}{90} + \frac{a_{10}}{132} \right) \quad (9)$$

Po rozpisaniu wyrażenia pod znakiem sumy i wprowadzeniu ostatecznego wzoru na M_0 uzyskuje się

$$M(x) = - a^2 \left[\frac{a_0}{2} (1-x^2) + \frac{a_2}{12} (1-x^4) + \frac{a_4}{30} (1-x^6) + \frac{a_6}{56} (1-x^8) + \frac{a_8}{90} (1-x^{10}) + \frac{a_{10}}{132} (1-x^{12}) \right], \quad (10a)$$

co po wprowadzeniu zależności (6b) i uporządkowaniu względem W_{2k} daje na moment zginający od odporu podłoża:

$$\begin{aligned} - \frac{1}{2} \frac{M(x)}{a} = & \\ & \left(\frac{\alpha_{00}}{2} + \frac{\alpha_{20}}{12} + \frac{\alpha_{40}}{30} + \frac{\alpha_{60}}{56} + \frac{\alpha_{80}}{90} + \frac{\alpha_{100}}{132} \right) W_0 + \\ & + \left(\frac{\alpha_{02}}{2} + \frac{\alpha_{22}}{12} + \frac{\alpha_{42}}{30} + \frac{\alpha_{62}}{56} + \frac{\alpha_{82}}{90} + \frac{\alpha_{102}}{132} \right) W_2 + \\ & + \left(\frac{\alpha_{04}}{2} + \frac{\alpha_{24}}{12} + \frac{\alpha_{44}}{30} + \frac{\alpha_{64}}{56} + \frac{\alpha_{84}}{90} + \frac{\alpha_{104}}{132} \right) W_4 + \\ & + \left(\frac{\alpha_{06}}{2} + \frac{\alpha_{26}}{12} + \frac{\alpha_{46}}{30} + \frac{\alpha_{66}}{56} + \frac{\alpha_{86}}{90} + \frac{\alpha_{106}}{132} \right) W_6 + \\ & + \left(\frac{\alpha_{08}}{2} + \frac{\alpha_{28}}{12} + \frac{\alpha_{48}}{30} + \frac{\alpha_{68}}{56} + \frac{\alpha_{88}}{90} + \frac{\alpha_{108}}{132} \right) W_8 + \\ & + \left(\frac{\alpha_{010}}{2} + \frac{\alpha_{210}}{12} + \frac{\alpha_{410}}{30} + \frac{\alpha_{610}}{56} + \frac{\alpha_{810}}{90} + \frac{\alpha_{1010}}{132} \right) W_{10} \end{aligned} \quad (10b)$$

Tablica 7

Wartości współczynnika m_0

| t' x | 0,0 | 0,2 | 0,4 | 0,6 | 0,8 | 1,0 |
|-----------|-----------|-----------|-----------|-----------|-----------|-----|
| 0 | +0,461561 | +0,443894 | +0,390648 | +0,300972 | +0,172800 | 0 |
| 2 | +0,444024 | +0,427668 | +0,378057 | +0,293459 | +0,170293 | 0 |
| 5 | +0,419862 | +0,405304 | +0,360691 | +0,283083 | +0,166825 | 0 |
| 10 | +0,384447 | +0,372513 | +0,335190 | +0,267720 | +0,161716 | 0 |
| 20 | +0,327551 | +0,319786 | +0,294102 | +0,243126 | +0,153410 | 0 |
| 50 | +0,221370 | +0,221137 | +0,216657 | +0,196079 | +0,137377 | 0 |
| 100 | +0,135924 | +0,141231 | +0,152746 | +0,156162 | +0,123334 | 0 |
| 200 | +0,067309 | +0,076028 | +0,098244 | +0,119945 | +0,109706 | 0 |
| 500 | +0,015886 | +0,024399 | +0,048737 | +0,081081 | +0,092609 | 0 |

Tablica 8

Wartości współczynnika m_2

| t' x | 0,0 | 0,2 | 0,4 | 0,6 | 0,8 | 1,0 |
|-----------|-----------|-----------|-----------|-----------|-----------|-----|
| 2 | -0,043317 | -0,040224 | -0,031549 | -0,019173 | -0,006562 | 0 |
| 5 | -0,041572 | -0,038256 | -0,030034 | -0,018281 | -0,006269 | 0 |
| 10 | -0,038058 | -0,035370 | -0,027811 | -0,016970 | -0,005838 | 0 |
| 20 | -0,033024 | -0,030196 | -0,024234 | -0,014860 | -0,005144 | 0 |
| 50 | -0,023585 | -0,022011 | -0,017516 | -0,010891 | -0,003837 | 0 |
| 100 | -0,015892 | -0,014901 | -0,012023 | -0,007639 | -0,002764 | 0 |
| 200 | -0,009514 | -0,008998 | -0,007472 | -0,004904 | -0,001854 | 0 |
| 500 | -0,004194 | -0,004044 | -0,003530 | -0,002520 | -0,001042 | 0 |

Tablica 9

Wartości współczynnika m_4

| t' x | 0,0 | 0,2 | 0,4 | 0,6 | 0,8 | 1,0 |
|-----------|-----------|-----------|-----------|-----------|-----------|-----|
| 2 | -0,033128 | -0,031541 | -0,026565 | -0,017984 | -0,007020 | 0 |
| 5 | -0,031408 | -0,029952 | -0,025336 | -0,017256 | -0,006780 | 0 |
| 10 | -0,028884 | -0,027617 | -0,023530 | -0,016183 | -0,006423 | 0 |
| 20 | -0,024826 | -0,023864 | -0,020623 | -0,014456 | -0,005852 | 0 |
| 50 | -0,017232 | -0,016830 | -0,015156 | -0,011188 | -0,004764 | 0 |
| 100 | -0,011081 | -0,011114 | -0,010664 | -0,008446 | -0,003844 | 0 |
| 200 | -0,006056 | -0,006400 | -0,006873 | -0,006096 | -0,003020 | 0 |
| 500 | -0,002064 | -0,002542 | -0,003528 | -0,003806 | -0,002160 | 0 |

Tablica 10

Wartości współczynnika m_6

| t' x | 0,0 | 0,2 | 0,4 | 0,6 | 0,8 | 1,0 |
|-----------|-----------|-----------|-----------|------------|-----------|-----|
| 2 | -0,024121 | -0,023119 | -0,020000 | -0,016089 | -0,006213 | 0 |
| 5 | -0,022840 | -0,021934 | -0,019264 | -0,013840 | -0,006062 | 0 |
| 10 | -0,019942 | -0,019178 | -0,016717 | -0,012024 | -0,005685 | 0 |
| 20 | -0,017943 | -0,017064 | -0,015562 | -0,011744 | -0,005335 | 0 |
| 50 | -0,012302 | -0,012172 | -0,011482 | -0,0092800 | -0,004510 | 0 |
| 100 | -0,007742 | -0,007922 | -0,008118 | -0,007224 | -0,003803 | 0 |
| 200 | -0,004794 | -0,005181 | -0,005995 | -0,006046 | -0,003594 | 0 |
| 500 | -0,001182 | -0,001620 | -0,002714 | -0,003554 | -0,002424 | 0 |

Tablica 11

Wartości współczynnika m_8

| t_x | 0,0 | 0,2 | 0,4 | 0,6 | 0,8 | 1,0 |
|-------|-----------|-----------|-----------|-----------|-----------|-----|
| 2 | -0,016748 | -0,016102 | -0,014104 | -0,010501 | -0,004897 | 0 |
| 5 | -0,015848 | -0,015270 | -0,013460 | -0,010118 | -0,004770 | 0 |
| 10 | -0,014530 | -0,014050 | -0,012513 | -0,009551 | -0,004581 | 0 |
| 20 | -0,012410 | -0,012087 | -0,010987 | -0,008638 | -0,004277 | 0 |
| 50 | -0,008454 | -0,008416 | -0,008114 | -0,006904 | -0,003694 | 0 |
| 100 | -0,005261 | -0,005435 | -0,005774 | -0,005443 | -0,003189 | 0 |
| 200 | -0,002682 | -0,002995 | -0,003731 | -0,004137 | -0,002718 | 0 |
| 500 | -0,000710 | -0,001040 | -0,001916 | -0,002786 | -0,002172 | 0 |

Tablica 12

Wartości współczynnika m_{10}

| t_x | 0,0 | 0,2 | 0,4 | 0,6 | 0,8 | 1,0 |
|-------|-----------|-----------|-----------|-----------|-----------|-----|
| 2 | -0,010236 | -0,009859 | -0,008696 | -0,006611 | -0,003268 | 0 |
| 5 | -0,009682 | -0,009346 | -0,008299 | -0,006373 | -0,003189 | 0 |
| 10 | -0,008870 | -0,008594 | -0,007713 | -0,006023 | -0,003072 | 0 |
| 20 | -0,007611 | -0,007382 | -0,006771 | -0,005457 | -0,002883 | 0 |
| 50 | -0,005122 | -0,005118 | -0,004996 | -0,004382 | -0,002518 | 0 |
| 100 | -0,003159 | -0,003183 | -0,003530 | -0,003471 | -0,002200 | 0 |
| 200 | -0,001578 | -0,001784 | -0,002283 | -0,002649 | -0,001896 | 0 |
| 500 | -0,000386 | -0,000590 | -0,001152 | -0,001782 | -0,001526 | 0 |

Oznaczając wyrażenia w nawiasach przez m_{2k} :

$$M(x) = -a^2 \cdot \sum_{k=0}^5 m_{2k} \cdot W_{2k} \quad (10c)$$

Współczynniki m_{2k} zestawiono w tablicach od 7 do 12.

5. Wyraży wolne W_{2k}

Krótkiego omówienia wymaga tu jeszcze sprawa obliczenia wyrazów wolnych W_{2k} w równaniach układu (4). Jak już zaznaczono wyrazy te w przypadku belki sprężonej zależą od obciążenia zewnętrznego i od sprężenia. Można je wyrazić jako sumę dwóch składników:

$$W_{2k} = W_{2k(P)} + W_{2k(S)},$$

z których jeden ($W_{2k(P)}$) ujmuje wpływ obciążenia zewnętrznego, a drugi ($W_{2k(S)}$) wpływ sprężenia.

$W_{2k(P)}$ można obliczyć na podstawie wzorów podanych przez Gorbunowa-Posadowa we wspomnianej już pracy dotyczącej obliczania belek na podłożu sprężystym. W celu obliczenia $W_{2k(S)}$ można nieznaną funkcję wyrażającą mimośród ciężna sprężającego (zmienny na długości belki) przedstawić przy pomocy wielomianu potęgowego

$$e(x) = \sum_{n=0}^m e_{2n} x^{2n} \quad (11)$$

Zmiennosć siły sprężającej wyrażamy również wielomianem o postaci

$$S(x) = \sum_{n=0}^1 s_{2n} x^{2n} \quad (12a)$$

Przyjmując dla siły sprężającej aproksymację wielomianem drugiego stopnia jako wystarczającą dokładną otrzymamy:

$$S(x) = s_0 + s_2 x^2 \quad (12b)$$

Mając tak określone parametry sprężania znajdujemy ugięcie belki spowodowane sprężeniem ze wzoru:

$$E_1 J_1 w(x) = - a^2 \sum_{n=0}^m \frac{s_0 e_{2n} + s_2 e_{2n-2}}{(2n+1)(2n+2)} x^{2n+2} \quad (13)$$

Wzór (13) daje podstawę do wyznaczenia poszukiwanej części wyrazów wolnych pochodzących od sprężania - $W_{2k}(S)$. Wyrazy te obliczymy z ogólnego wzoru

$$W_{2k}(S) = - \frac{t'}{a^2} \cdot \frac{(s_0 \cdot e_{2k-2} + s_2 \cdot e_{2k-4})}{2k \cdot (2k-1)} \quad (14)$$

Jak widać ze wzoru (14) wyrazy $W_{2k}(S)$ wyrażają się przy pomocy współczynników e_{2n} , s_0 i s_2 .

Jeżeli te współczynniki będą znane, to bez trudu potrafiemy obliczyć wartości składowych wyrazów wolnych pochodzących od sprężenia ($W_{2k}(S)$), co w zestawieniu ze znanymi wartościami $W_{2k}(P)$ pozwala na określenie interesujących nas wielkości statycznych i geometrycznych w danej belce. Jeżeli zaś zadaniem naszym będzie dobranie siły sprężającej i charakteru zmienności mimośrodu dla belki o zadanym obciążeniu, to musimy w wyrazy $W_{2k}(S)$ wprowadzić nieznanne współczynniki e_{2n} , s_0 , s_2 wyrazić przy ich pomocy wartości momentów zginających i z warunków nieprzekroczenia naprężeń w przekrojach, w których moment osiąga wartości ekstremalne, wyznaczyć najkorzystniejszy przebieg trasy ciągnia sprężającego przy minimalnej wartości siły sprężającej. Ten tok postępowania będzie bliżej zilustrowany na przykładzie przeliczonym w punkcie 6.

6. Przykład

Rozpatrzmy belkę prostokątną o długości $l=10,0$ m obciążoną dwoma siłami skupionymi.

$$\left. \begin{array}{l} \text{Połowa długości belki } a = 5,0 \text{ m} \\ \text{Połowa szerokości belki } b = 0,5 \text{ m} \end{array} \right\} \frac{a}{b} = 10$$

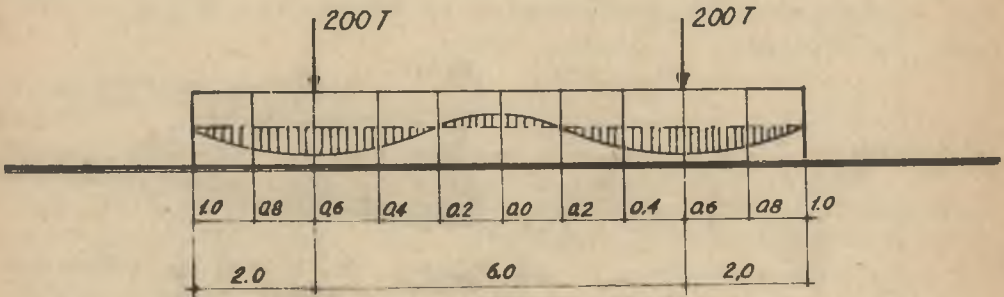
Wysokość belki $h = 1,0$ m

Moduł sprężystości betonu $E_1 = 140.000 \text{ kg/cm}^2$

Moduł sprężystości gruntu $E_0 = 120 \text{ kg/cm}^2$.

Dla gruntu przyjęto $\nu_0 = 0$.

Poszukujemy wartości siły sprężającej S oraz takiej trasy ciągną, żeby moment zginający na całej długości belki był równy zeru. Znając przebieg momentu zginającego w belce nie-sprężonej możemy przypuszczać, że poszukiwana trasa ciągną będzie miała kształt przedstawiony na rysunku 2.



Rys. 2

Zgodnie ze wzorem (11) opisujemy mimośród kabla równaniem

$$e(x) = e_0 + e_2x^2 + e_4x^4 + e_6x^6$$

Z warunków:

$$\text{dla } x = 0,0 \quad e = \varepsilon h \quad \text{i} \quad \frac{de(x)}{dx} = 0$$

$$\text{dla } x = \pm 0,6 \quad e = +0,4h \quad \text{i} \quad \frac{de(x)}{dx} = 0$$

$$\text{dla } x = \pm 1,0 \quad e = 0$$

można wyznaczyć e_0 , e_2 , e_4 , e_6 . Wstawiając konkretne wartości liczbowe uzyskamy:

$$e_0 = \varepsilon$$

$$e_2 = 2,19 - 5,446\varepsilon,$$

$$e_4 = -3,45 + 9,056\varepsilon,$$

$$e_6 = 1,26 - 4,610\varepsilon.$$

Ze względu na straty siły sprężającej wywołane tarciem przyjęto zmienność tej siły określoną równaniem:

$$s(x) = s_0 + s_2 x^2,$$

przy czym założono

$$s_0 = 0,8S,$$

$$s_2 = 0,2S.$$

Dla danej belki wskaźnik t' ma wartość:

$$\begin{aligned} t' &= \frac{\pi \cdot E_0 \cdot a^4}{2(1-\nu_0^2)E_1 J_1} = \frac{\pi \cdot E_0 \cdot a^4 \cdot 6}{2(1-\nu_0^2)E_1 b h^3} = \frac{6\pi E_0}{2E_1(1-\nu_0^2)} \cdot \frac{a}{b} \cdot \frac{a^3}{h^3} = \\ &= \frac{30\pi E_0}{E_1(1-\nu_0^2)} \cdot \left(\frac{a}{h}\right)^3, \end{aligned}$$

co po wstawieniu konkretnych danych liczbowych daje

$$t' = 10$$

W oparciu o wzory podane w pracy [1] na str. 304 oraz o tabelicę zamieszczoną na str. 339 tej samej pracy obliczamy $W_{2k}(P)$.

$$W_0(P) = 40,000,$$

$$W_2(P) = -83,864,$$

$$W_4(P) = +26,312,$$

$$W_6(P) = -71,376,$$

$$W_8(P) = +83,880,$$

$$W_{10}(P) = -30,952.$$

Wyrazy $W_{2k}(S)$ obliczymy na podstawie wzoru (14)

$$W_0(S) = 0,$$

$$W_2(S) = -\frac{1}{25} 4,0S\ell,$$

$$W_4(S) = -\frac{1}{25} (1,4600S - 3,4600S\varepsilon),$$

$$W_6(S) = \frac{1}{25} (0,7750S - 2,0500S\varepsilon),$$

$$W_8(S) = -\frac{1}{25} (0,0568S - 0,3350S\varepsilon),$$

$$W_{10}(S) = -\frac{1}{25} (0,0280S - 0,1024S\varepsilon).$$

Poszukiwane wartości S oraz ε wyznaczmy z warunków zerowania się momentów w punktach $x = 0,0$ i $x = 0,6$.
Momenty od obciążenia zewnętrznego mają wartość:

$$M_{0,0}(P) = M_{0,2}(P) = M_{0,4}(P) = M_{0,6}(P) = 400 \text{ Tm}$$

$$M_{0,8}(P) = 200 \text{ Tm},$$

$$M_{1,0}(P) = 0 \text{ Tm}$$

Momenty od sprężenia wynoszą:

$$M_{0,0}(S) = 0,8 S\varepsilon h,$$

$$M_{0,6}(S) = 0,872 S \cdot 0,4h = 0,349Sh.$$

W oparciu o wzór (10c) oraz o tablice 7 - 12 wyznaczmy wartość momentu zginającego od odporu podłoża. Uzyskamy w ten sposób:

$$\bar{M}_{0,0} = -457 - 0,02779S - 0,08740S\varepsilon,$$

$$\bar{M}_{0,6} = -299 - 0,01502S - 0,09745\varepsilon.$$

Sumując momenty od obciążenia zewnętrznego $[M(P)]$, od sprężenia $[M(S)]$ i od odporu gruntu $[M]$, otrzymamy na sumaryczne momenty:

$$M_{0,0} = -57 + 0,71260S\varepsilon - 0,02779S,$$

$$M_{0,6} = +101 + 0,33398S\varepsilon - 0,09745S.$$

Stawiając warunek by $M_{0,0} = M_{0,6} = 0$ uzyskujemy układ dwóch równań o dwóch niewiadomych S i ε . Rozwiązanie tego układu daje:

$$\varepsilon = -0,2445.$$

$$S = -282T.$$

Rozwiązanie to prowadzi do trasy cięga o równaniu

$$e(x) = -0,2445 + 3,5215x^2 - 5,6642x^4 + 2,3871x^6$$

Zmienność siły sprężającej opisuje równanie

$$S(x) = -225,6 - 56,4x^2$$

Tablica 13

| Lp. Wyszczególnienie | 0,0 | 0,2 | 0,4 | 0,6 | 0,8 | 1,0 |
|----------------------------------------------------------------------|--------|--------|--------|--------|--------|-------|
| 1 Odpór podłoża $[T/m^2]$ w belce niesprężonej | 34,6 | | | | | |
| 2 Odpór podłoża $[T/m^2]$ w belce sprężonej | 34,9 | 35,0 | 35,8 | 38,1 | 42,6 | 58,2 |
| 3 Moment zginający $[Tm]$ w belce niesprężonej | -57,2 | -39,9 | +12,4 | +101,4 | +28,8 | 0,0 |
| 4 Moment zginający w belce sprężonej $[Tm]$ | 0,0 | -12,3 | -28,2 | +4,6 | -52,5 | 0,0 |
| 5 Mimośród $[m]$ | -0,245 | -0,113 | +0,184 | +0,401 | +0,315 | 0,000 |
| 6 Poprawka mimośrod $[m]$ | 0,000 | -0,054 | -0,120 | -0,001 | -0,201 | 0,000 |
| 7 Mimośród poprawiony $[m]$ | -0,245 | -0,167 | +0,064 | +0,400 | +0,114 | 0,000 |
| 8 Moment zginający w belce sprężonej z poprawionym mimośrodem $[Tm]$ | -4,3 | +1,3 | +0,9 | +2,3 | -1,5 | 0,0 |

W tabelicy 13 przeprowadzono obliczenie momentu zginającego i oporu podłoża w sześciu przekrojach poprzecznych belki. Dla porównania podano odpór i moment zginający w belce niesprężonej. Ponieważ obliczenie wykazało, że moment zginający w belce sprężonej (rubryka 4) ma w niektórych przekrojach dość znaczne wartości, zaszła potrzeba skorygowania obliczonej trasy cięga sprężającego. Poprawkę mimośrodowo obliczona dzieląc wartość momentu w belce sprężonej (rubryka 4) przez odpowiednią dla danego przekroju wartość siły sprężającej. Nie jest to ściśle, ale daje bardzo dobre przybliżenie.

W rubryce 8 zestawiono momenty zginające w belce sprężonej przy poprawionym mimośrodku cięga. Dalsze poprawianie mimośrodowo (wobec nieuniknionych niedokładności, na które już zwrócono uwagę) jest nieuzasadnione. Można więc uznać, że siła $S = 282T$ (po stratach reologicznych) poprowadzona na mimośrodku opisanym w rubryce 7 tabelicy 13 zapewnia zerowanie się momentu zginającego na całej długości belki.

7. Wnioski końcowe

Przedstawione tutaj wywody zdają się świadczyć o możliwości łatwego ujęcia w zależności matematyczne pracy belek sprężonych spoczywających na sprężystym podłożu. Oparcie analizy matematycznej o zasady rachunku krakowianowego doprowadziło do uzyskania bardzo dogodnych w użyciu wzorów i tablic. Tablice te mogą być zastosowane do obliczania belek o stosunku połowy długości do połowy szerokości $\bar{\alpha} = \frac{a}{b} = 10$ przy dowolnym symetrycznym obciążeniu. Dodatkową ich zaletą jest fakt że mogą one być wykorzystane przy obliczaniu tak belek sprężonych jak i niesprężonych. Opracowanie identycznych tablic dla innych wartości wskaźnika $\bar{\alpha}$ nie nastrocza żadnych trudności. Również łatwo (w oparciu o przyjęty w niniejszej pracy tok postępowania) można opracować tablice dla obciążenia antymetrycznego.

Trudno w tej chwili poszukiwać dróg praktycznego zastosowania niniejszych rozważań. Istnieje w omawianej dziedzinie zbyt wiele problemów nierozwiązanych by można było autorytatywnie rozsądzać o możliwości zastosowania sprężenia do konstrukcji fundamentowych. Nie można oczekiwać by problemy te dały się rozwiązać na drodze wyłącznie teoretycznych dociekań. Grunt budowlany jest materiałem o tak różnorodnych cechach, że zawieranie jakimkolwiek teoriom nie popartym wynikami wnikliwych badań byłoby bardzo ryzykowne. Tym niemniej wydaje się, że sprężenie może utorować sobie drogę do fundamentów jako środek ich zabezpieczenia przed wpływami szkód górniczych. Dotyczy to zarówno fundamentów budowlanych nowoznaczonych jak i istniejących lecz wymagających wzmocnienia. W tym aspekcie niniejsza publikacja może stanowić pomost dla dalszych szczegółowych studiów nad tym problemem.

LITERATURA

- [1] Gorbunow-Posadow M.I.: Obliczanie konstrukcji na podłożu sprężystym - Budownictwo i Architektura 1956.

ПРОЕКТИРОВАНИЕ ПРЕДВАРИТЕЛЬНО НАПРЯЖЕННОЙ БАЛКИ ЛЕЖАЩЕЙ
НА УПРУГОМ ОСНОВАНИИ

С о д е р ж а н и е

В этой статье представлено формулы для определения реакции основания и изгибающих моментов в любой симметрично нагруженной предварительно напряженной балке. Опираясь на эти формулы и на некоторых правилах краковянского исчисления приготовлено таблицы, которые могут быть использованы в проектировании так предварительно напряженных, как и ненапряженных балок. Поэтому эти таблицы могут быть считаны обобщением диаграмм и таблиц составленных Горбуновым-Посадовым.

Примерь приложенный на конце статьи объясняет метод использования этих таблиц.

DESIGNING OF POST-TENSIONED BEAM
RESTING ON THE ELASTIC FOUNDATION

S u m m a r y

The formulas for determination of subgrade reaction and bending moments in any symmetrically loaded post-tensioned beam are performed in this work. Basing on this formulas and on some theorems of Cracovian's analysis have been prepared the tables, which can be used for designing both prestressed and not-prestressed beams resting on the elastic foundation. It can be considered as a generalization of tables and diagrams given by Gorbunow-Posadow in his works. The example given in the end of the paper performs how this tables can be used.